

## مدل سازی عددی انتقال و پخش آلودگی نفتی در دریا

فرزاد عزیزی قناد<sup>۱\*</sup>، فریدون وفایی<sup>۲</sup>، مهدی محمدی عراق<sup>۳</sup>

۱- کارشناس ارشد رشته سازه های دریایی، دانشگاه صنعتی خواجه نصیر الدین طوسی

۲- استادیار دانشکده مهندسی عمران، دانشگاه صنعتی خواجه نصیر الدین طوسی

۳- عضو موسسه تحقیقات آب ایران

### چکیده

پخش آلاینده های نفتی در محیط های آبی از معضلات بشر امروزی است. معمولاً انتقال و پخش لکه نفتی در محیط های آبی به دلیل فرایندهای شیمیایی، فیزیکی و زیست شناسی است که خود وابسته به خصوصیات نفت، هیدرودینامیک، هواشناسی و شرایط زیست محیطی است. این فرایندها شامل انتقال، پراکندگی، تبخیر، و ... می باشد. زمانی که نفت در سطح آب پخش می شود، کشیده شده و لایه نفتی را تشکیل می دهد. پخش و انتقال لایه نفتی به دلیل جریان، امواج و اثر باد می باشد. افزایش تمايل نسبت به مطالعه لکه نفتی و همچنین اهمیت روز افرون این موضوع در زندگی روزمره بشر، باعث توسعه تعداد زیادی از مدل های عددی شده است.

در این مقاله یک مدل عددی برای شبیه سازی انتقال و پراکندگی ضخامت لکه نفتی و همچنین پخش و جابجایی مقدار متوسط غلظت نفت در ستون آب و تبخیر با دیدگاه اویلری و به صورت یک مدل چند فازی توسعه داده شده است. مدل هیدرودینامیک موجود معادلات دو بعدی غیر دایمی ناویر استوکس متوسطگیری شده در عمق را حل می کند. در حل عددی جریان از روش تغییر جهت متنابض ضمنی استفاده شده است. گسسته سازی معادلات به روش احجام محدود انجام شده است. به منظور بررسی صحت کارایی مدل عددی، با یک رابطه تجربی مقایسه شده است که نتایج، تطابق مناسبی را نشان می دهند.

**کلمات کلیدی:** انتقال و پراکندگی لکه نفتی، متوسط گیری شده در عمق، روش اویلری، مدل چند فازی

## SIMULATION OF NUMERICAL MODEL FOR OIL POLLUTION ON THE SEA

F. Azizi Ghannad<sup>1</sup>, F. Vafaei<sup>2</sup>, M. Mohammadi Aragh<sup>3</sup>

1-Msc of Marine Structures, Civil College, K. N. Toosi Univ. of Tech.

2-Assistant Professor of Civil Engineering College, K. N. Toosi Univ. of Tech.

3-Member of Iranian Water Research Institute

### Abstract

Nowadays oil spill are one of the most important problem in the humans life. Usually advection and dispersion occur because of chemicals, physicals and biological processes that related by properties of oil and other things. These processes are evaporation, dispersion and so on. When oil spills on the sea, it is extended and made oil slick. Increasing these kinds of events cause developing many kind of oil spill model.

In this paper a numerical model for simulating drifting and spreading of oil slick thickness including dissipative processes such as advection and diffusion of averaged oil concentration in the water column and evaporation, with Eulerian approach and multi phase model has been developed. Equations were discrete using finite volume method. Available hydrodynamic model can solve two-dimensional depth-averaged unsteady Navier-Stokes equations. Alternating

\* نویسنده مسؤول مقاله f\_azizi\_gh@sina.kntu.ac.ir

Direction Implicit method (ADI) is used for numerical solution of flow. In order to verify the accuracy of hydrodynamic, advection and diffusion model of oil slick thickness and oil average concentration, numerical results compared with experimental measurements and analytical model. Comparison shows the model can satisfactorily simulate the problem.

**Keywords:** Drifting and spreading of oil slick, Depth averaged, Eulerian approach, Multi phase model

#### ۱- مقدمه

نفت موجود و فرایندهای مستهلك کننده در زیر سطح آب انجام گرفته است [۱ و ۵ و ۶].

در این تحقیق سعی شده است تا یک مدل عددی برای شبیه‌سازی پخش و انتقال لکه نفتی در سطح آب با در نظر گرفتن فرایندهای استهلاکی همچون تبخیر و نفوذ ذرات در داخل ستون آب به صورت یک مدل چند فازی توسعه داده شود.

#### ۲- روش انجام کار

برای پیش‌بینی دقیق فرایند پخش و انتقال لکه نفتی در سطح دریا، لازم است تا علاوه بر شناسایی عوامل موثر در پخش و انتقال، فرایندهای استهلاکی همانند تبخیر و نفوذ نفت در ستون آب، نیز شناخته و بررسی شوند. برای این منظور یک مدل عددی بر پایه روش اویلری توسعه داده شده و در آن برای مشخص شدن الگوی حرکت جریان آبی از معادلات پیوستگی و ممنتوم (معادلات نویر - استوکس متوسط‌گیری شده در عمق)، (روابط (۱) الی (۳)). و برای بررسی انتقال لکه نفتی از معادلات انتشار نفت در سطح (رابطه (۴)) استفاده شده است [۷].

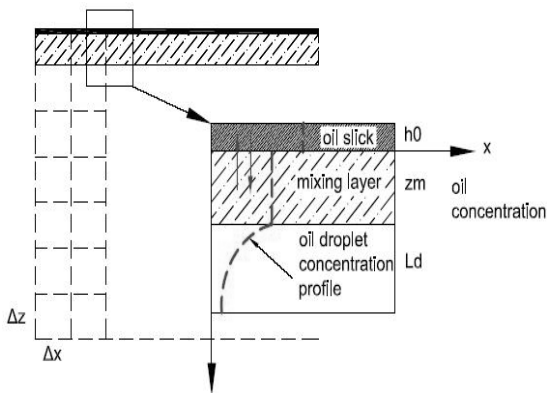
قائم باشد، معادلات دو بعدی افقی آب‌های کم عمق می‌تواند جریان را بطور رضایت‌بخشی مدل کند. اگر از نیروهای باد و کوریولیس صرف‌نظر شوند و فشار هیدرولستاتیک فرض گردد، معادلات حاکم بر جریان غیر دائمی دو بعدی آب‌های کم عمق با استفاده از سیستم مختصات کارتزین به صورت زیر نوشته می‌شوند [۸ و ۷]:

رشد اقتصادی سریع باعث افزایش نسبتاً زیادی در مصرف نفت در دهه‌های اخیر شده است. حجم زیادی از نفت هنگام برخورد نفت‌ها با موانع و یا غرق شدن آنها در آبهای راه می‌شود. لکه‌های نفتی حاصل از رفت و آمد کشتی‌های نفت کش، حفاری چاههای نفتی و فعالیت‌های مشابه به دلیل رشد روز افزون نفت و محصولات آن افزایش می‌یابد. معمولاً، انتقال و پخش لکه نفتی در محیط‌های آبی به دلیل فرایندهای شیمیایی، فیزیکی، و زیست‌شناسی است که خود وابسته به خصوصیات نفت، هیدرودینامیک، هواشناسی و شرایط زیست محیطی است. این فرایندها شامل انتقال، پراکندگی، نفوذ در ستون آب و... می‌باشد [۱]. از آنجاییکه حوادث دریایی اکثرا در محیط‌های گستردۀ وغیرقابل دسترس رخ می‌دهد، لذا دسترسی محلی به آلوگری نفتی در موقعیت مورد نظر تقریباً غیر اقتصادی و زمانی می‌باشد. یکی از روشهایی که می‌تواند در پیش‌بینی حرکت لکه نفتی و پاکسازی آن کمک شایانی کند، مدل‌سازی عددی است. رشد چشمگیر حوادث دریایی در سالهای اخیر محققان را بر آن داشت تا مدل‌های متنوعی را برای پیش‌بینی چگونگی انتقال و پخش لکه نفتی ارایه دهند که هر یک از آنها به نوبه خود دارای نقاط ضعف و قوت بودند. از مشهورترین مدل‌ها می‌توان به مدل ارائه شده توسط Fay در سال ۱۹۶۹ [۲]، مدل Lehr و همکاران در سال ۱۹۸۴ [۳]، مدل Delvigne در سال ۱۹۹۴ [۴]، مدل Oilpol توسط Alrabeah در سال ۱۹۹۹ [۵] و مدل ارائه شده توسط Fignas در سال ۲۰۰۳ [۶] اشاره نمود. اکثر این مدل‌ها تنها به بررسی حرکت لکه نفتی در سطح آب می‌پردازند و نفت را به صورت مجموعه‌ای از ذرات در نظر می‌گیرند. اما مطالعات اندکی در مورد تخمین غلظت

$$\frac{\partial H}{\partial t} + \frac{\partial(HU)}{\partial x} + \frac{\partial(HV)}{\partial y} = 0 \quad (1)$$

$$\frac{\partial}{\partial t}(HU) + \frac{\partial}{\partial x}(HU^2) + \frac{\partial}{\partial y}(HUV) = -gH \frac{\partial H}{\partial x} - \frac{g}{C_e} U(U^2 + V^2)^{1/2} + \frac{\partial}{\partial x} \left[ 2\nu \frac{\partial HU}{\partial x} \right] + \frac{\partial}{\partial y} \left[ \nu \left( \frac{\partial(HU)}{\partial y} + \frac{\partial(HV)}{\partial x} \right) \right] \quad (2)$$

$$\frac{\partial}{\partial t}(HV) + \frac{\partial}{\partial x}(HUV) + \frac{\partial}{\partial y}(HV^2) = -gH \frac{\partial H}{\partial y} - \frac{g}{C_e} V(U^2 + V^2)^{1/2} + \frac{\partial}{\partial y} \left[ 2\nu \frac{\partial HV}{\partial y} \right] + \frac{\partial}{\partial x} \left[ \nu \left( \frac{\partial(HU)}{\partial y} + \frac{\partial(HV)}{\partial x} \right) \right] \quad (3)$$



شکل ۱- لایه نفتی و لایه اختلاط آب و نفت و همچنین شبکه محاسباتی مربوطه [۷]

رابطه (۴) برای دینامیک لکه نفتی بوده و با متوسط گیری از معادلات ناویر استوکس روی ضخامت نفت سطحی حاصل شده است. عبارت دوم این رابطه جابجایی افقی لکه نفتی در اثر جریان باد و جریان نزدیک به سطح و عبارت سوم توسعه نیروهای ویسکوزیته- جاذبه می‌باشد. رابطه (۶) انتقال نفت در ستون آب را بیان می‌کند. عبارت‌های سمت راست روابط (۴) و (۶)، انتقال نفت بین دو لایه را نشان می‌دهد [۷].

در رابطه (۵)،  $M_i$  حجم نفت مولفه  $i$  ام که به موجب تبخیر کاهش یافته است بر حسب مول،  $K_e$  ضریب انتقال جرم برای تبخیر ( $m/s$ ) که از رابطه (۷) بدست می‌آید.  $A$  سطح لکه نفتی ( $m^2$ ),  $t$  زمان بر حسب ثانیه،  $X_i$  مقدار حجم مولفه  $i$  ام بر حسب فشار بخار مولفه  $i$  ام،  $T$  دمای هوا بر حسب کلوین،  $R$  ثابت گازها، می‌باشد [۹].

$$k_e = .0292 U_{wind}^{0.78} D^{-0.11} S_c^{-0.67} \quad (7)$$

در رابطه (۷)،  $U_{wind}$  سرعت باد بر حسب ( $m/s$ ) و  $D$  قطر لکه نفتی بر اساس متر و  $S_c$  عبارتست از عدد

$U$  و  $V$  مولفه‌های متوسط‌گیری شده سرعت در عمق در دو جهت  $x$  و  $y$  می‌باشند.  $C_e$ ,  $g$ ,  $v$ ,  $H$  به ترتیب عمق آب با در نظر گرفتن سطح آزاد، ضریب پخشودگی، شتاب گرانش و ضریب شزری می‌باشند.

$$\frac{\partial h}{\partial t} + \bar{\nabla}(h\bar{v}) - \bar{\nabla}(D\bar{\nabla}h) = R_h \quad (4)$$

در هر گام زمانی، تغییرات خصوصیات نفت و مقدار کاهش حجم نفت به واسطه فرایندهای مختلف از جمله تبخیر که از معادله ۱۹۸۰ Mackay (۵) بدست می‌آید [۱۰ و ۹] و همچنین مقدار نفوذ نفت در ستون آب که به واسطه مشخصات موج و شناوری محیط رخ می‌دهد از رابطه (۶)، محاسبه می‌شود [۷ و ۱۱].

$$s_e = \frac{\sum M_i}{t} = \frac{\sum K_e A X_i P_i^s}{RT} \quad (5)$$

$$\frac{\partial C}{\partial t} + \bar{\nabla}(C\bar{u}) - \bar{\nabla}(\bar{E}\bar{\nabla}C) = R \quad (6)$$

در روابط (۴) و (۶)، با توجه به شکل ۱،  $h$  ضخامت لایه نفتی،  $C$  غلظت آلاینده نفتی در ستون آب،  $\bar{E} = (E^x, E^y)$  ضریب پخش آشفتگی به ترتیب در دو جهت  $x$  و  $y$ ،  $R_h$  و  $R$  عبارت‌های دینامیکی فیزیکی شیمیایی،  $\bar{v} = (u^x + \tau^x/f, u^y + \tau^y/f)$  سرعت جابجایی لکه در دو جهت  $x$  و  $y$ ،  $\tau^x, \tau^y / f \approx 0.03(U^x, U^y)$  تنشهای برشی به دلیل باد،  $D = gh^2(\rho - \rho_o)/\rho f$  تابع پخش،  $\rho$  و  $\rho_o$  چگالی آب و نفت به ترتیب،  $g$  شتاب ثقل، اصطکاک بین لایه نفتی و سطح آب،  $\bar{u} = (u^x, u^y)$  سرعت سیال به ترتیب در دو جهت  $x$  و  $y$ ،  $t$  زمان،  $\bar{\nabla} = (\partial/\partial x, \partial/\partial y)$  می-باشند [۷].

از خطوط عمود بر هم استفاده شده است. محل قرار گیری عمق آب در مرکز سلول ها و محل قرار گیری  $U$ , سرعت در راستای محور  $x$ , در وسط جداره های موازی با محور  $z$  ها و محل قرار گیری  $V$ , سرعت در راستای محور  $z$  ها, در وسط جداره های موازی با محور  $x$  ها می باشند [۸].

#### ۴- بررسی عملکرد مدل

برای دست یافتن به صحت عملکرد مدل بایستی نتایج بدست آمده از مدل را با یک الگوی دقیق و درست سنجید. در این راستا به جهت صحت سنجی مدل، کanal با جریان دائمی مورد مطالعه قرار گرفته است.

۱-۴- انتقال و پراکندگی لکه نفتی در کanal مستقیم مقایسه نتایج مدل عددی با یک رابطه تجربی (ارایه شده توسط Borthwick, 1992) در یک مثال ساده در کanal یکنواخت و مستطیلی ارایه می شود. کanalی به طول ۲۰ متر و عرض ۱۰ متر در نظر گرفته می شود. اندازه ابعاد شبکه در دو جهت طول و عرض کanal برابر با  $0.2$  متر در نظر گرفته می شود. سرعت جریان ثابت، و برابر با  $0.1$  متر بر ثانیه در جهت طولی کanal انتخاب می شود. با فرض ثابت بودن عمق آب، سرعت و ضرایب پخش و آنی بودن ورود آلودگی رابطه پخش آلودگی نفت بر اساس آزمایشات Borthwick، در رابطه (۸) ارایه شده است [۱۲ و ۱۳].

$M$  جرم غلظت ورودی در  $x = 0$ ,  $y = 5$  و  $t = 0$ , سرعت متوسط و  $t$  زمان محاسبه شده از لحظه ورود آلاینده نفتی برای جواب معادله (۸) است.  $0.0052 \text{ متر مکعب نفت با چگالی } kg/m^3$  بر روی سلول  $(25, 25)$  به طور یکنواخت و آنی توزیع می شود. این مقدار نفت بر اساس روابط ارایه شده در بخش قبل به مدل وارد شده و پس از اجرای مدل نتایج با استفاده از نرم افزار Tecplot 8.0 به حالت گرافیکی در شکل های زیر نشان داده می شود.

Schmidt که صافی سطح آب را نمایش می دهد و مقدار آن  $2/7$  می باشد [۴].

#### ۳- روش حل و گسسته سازی معادلات

در این تحقیق با استفاده از یک مدل هیدرودینامیک دو بعدی که با استفاده از نرم افزار Fortran نوشته شده است، منطقه مورد نظر، مدل شده و معادلات دو بعدی غیر دایمی ناویر استوکس متوسط گیری شده در عمق حل می شود.

به منظور حل معادلات مربوط از الگوی حل تغییر جهت متناوب ضمنی <sup>۲</sup> و روش گسسته سازی احجام محدود <sup>۳</sup> در شبکه بندی سازمان یافته لغزان استفاده شده است. با در نظر گرفتن دو نیم گام زمانی در هر گام زمانی، معادله پیوستگی و ممنتوم در جهت  $x$  در نیم گام زمانی اول و معادله پیوستگی و معادله ممنتوم در جهت  $z$  در نیم گام زمانی دوم حل می شوند. به نحوی که در نیم گام زمانی اول هر ردیف از سلول های محاسباتی مجزا موازی با محور  $x$  تشکیل یک دستگاه معادلات را می دهد. با محاسبه مجھولات مربوط به هر ردیف محاسباتی و جاروب کردن ردیف های محاسباتی از پایین به بالا و انجام عملیات تکرار به جهت همگرای شدن جواب معادلات - به دلیل غیر خطی بودن معادلات هیدرودینامیک - نیم گام زمانی اول به پایان می رسد. مشابه با آنچه که برای نیم گام زمانی اول بیان شد، در نیم گام زمانی دوم دستگاه معادلات ستون های محاسباتی در جهت  $z$  حل می گردد. در انتهای هر گام زمانی بعد از محاسبه میدان سرعت، معادله انتقال غلظت مواد معلق و محلول حل می گردد. در انتهای هر گام زمانی معادلات استهلاک ذکر شده حل می شود. برای سرعت های موازی دیواره های صلب از فرضیه دیواره های بدون اصطکاک استفاده شده و سرعت های عمود بر دیواره های صلب برابر با صفر در نظر گرفته شده است. انتقال غلظت مواد معلق و محلول از جداره ها امکان پذیر نمی باشد. [۸]

همانطور که در بالا به آن اشاره شد، شبکه بندی استفاده شده در این مدل، از نوع سازمان یافته است، به نحوی که هر نقطه در تقاطع دو خط قرار دارد. در این شبکه بندی

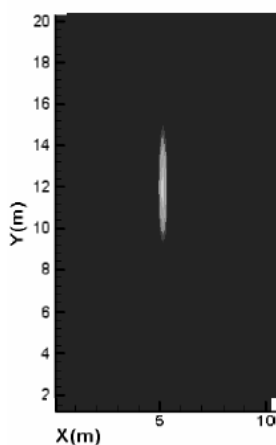
$$S_{(x,y,t)} = \frac{M}{h4\pi\sqrt{D_x D_y}} \cdot \exp\left[-\frac{(y-y_0)^2}{4D_y t}\right] \cdot \exp\left[-\frac{(x-ut)^2}{4D_x t}\right] \quad (8)$$

اشکال ۲ تا ۵ ضخامت لایه نفتی را در زمان آغاز شبیه سازی،  $2/5$  ثانیه،  $40$  ثانیه و  $70$  ثانیه پس از آغاز شبیه سازی نشان می‌دهند. همانطور که در این شکل‌ها مشخص است مدل به خوبی پدیده انتقال لکه نفتی را نشان می‌دهد.

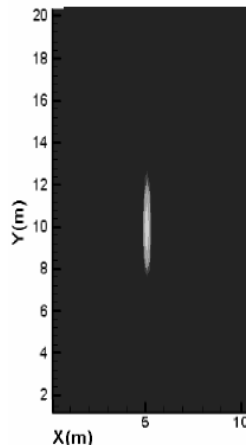
اشکال ۶ تا ۹ پخش و انتقال نفت در ستون آب را در زمان آغاز شبیه سازی،  $2/5$  ثانیه،  $40$  ثانیه و  $70$  ثانیه پس از آغاز شبیه سازی را نشان می‌دهند. با توجه به شکل می‌توان به نحوه و میزان نفوذ نفت در ستون آب و همچنین تبادل جرم بین دو فاز (لکه سطحی و ستون آب)، پی برد.

$0/0052$  متر مکعب نفت با چگالی  $kg/m^3$   $840$  بر روی سلول ( $25,25$ ) به طور یکنواخت و آنی توزیع می‌شود. این مقدار نفت بر اساس روابط ارایه شده در بخش قبل به مدل وارد شده و پس از اجرای مدل نتایج با استفاده از نرم افزار Tecplot 8.0 به حالت گرافیکی در شکل‌های زیر نشان داده می‌شود.

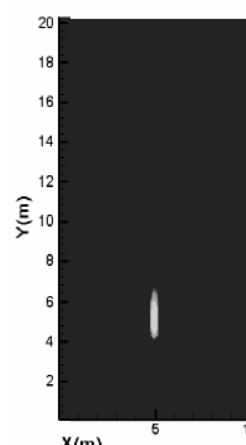
با توجه به رابطه تجربی بدست آمده از آزمایشات Borthwick، و برای انجام مقایسه دقیق‌تر همان مقدار نفت با همان مشخصات ذکر شده برای مدل عددی، در رابطه (۸) وارد شده و نتایج بدست آمده از این رابطه تجربی به همراه نتایج حاصل از مدل عددی با استفاده از نرم افزار Excel، و به صورت یک نمودار واحد در شکل‌های بعدی آمده است.



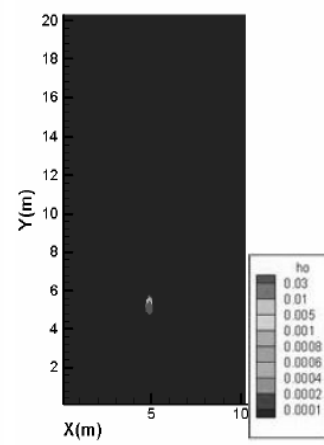
شکل ۵ - تغییرات  
ضخامت لکه،  $T=70$  s



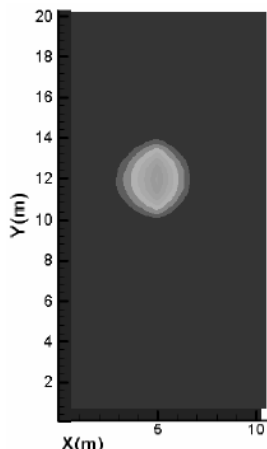
شکل ۴ - تغییرات  
ضخامت لکه،  $T=40$  s



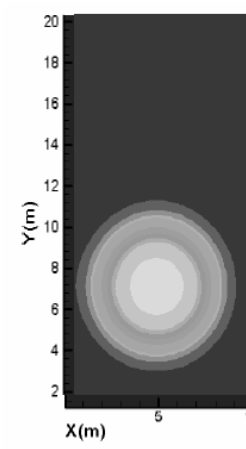
شکل ۳ - تغییرات  
ضخامت لکه،  $T=10$  s



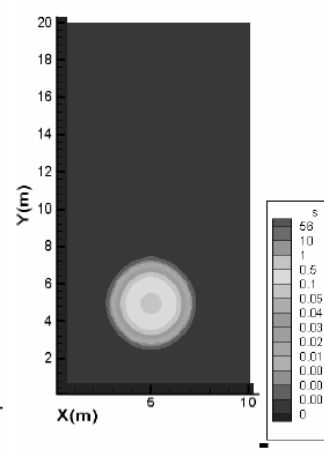
شکل ۲ - تغییرات ضخامت لکه،  
بر حسب  $h_o$  [m]،  $T=2.5$  s



شکل ۸ - تغییرات غلظت  
نفت در ستون آب،  $T=70$  s

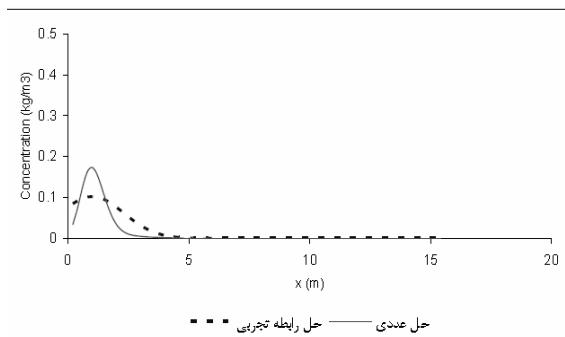


شکل ۷ - تغییرات غلظت  
نفت در ستون آب،  $T=10$  s



شکل ۶ - تغییرات غلظت نفت در  
ستون آب،  $T=2.5$  s

شوند. مدل هیدرودینامیک موجود، معادلات دو بعدی غیر دایمی ناویر استوکس متوسط گیری شده در عمق را حل می کند. در حل عددی جریان از روش تغییر جهت متنابض ضمنی استفاده شده است. به منظور صحت سنجی مدل، انتقال غلظت لکه نفتی با نتایج یک رابطه تحریکی در شرایط یکسان از نظر مشخصات و میزان نفت ورودی، مقایسه شده است. با توجه به نمودار های ارایه شده در بخش قبل می توان چنین نتیجه گرفت که مدل عددی انتقال لکه نفتی را به صورت یک مدل دو فازی، در سطح و ستون آب، به خوبی شبیه سازی می کند.

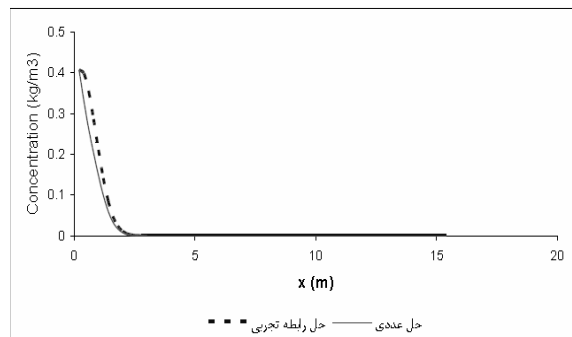


شکل ۱۱ - نمودار تغییرات غلظت در مکان (۵ و x) در  $T=10$  s

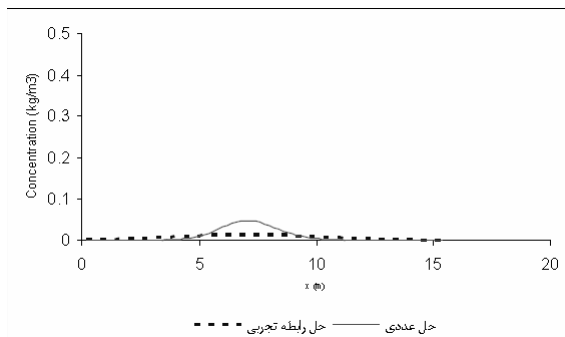
اشکال ۱۰ تا ۱۳ مقایسه نتایج شبیه سازی را با رابطه تحریکی بر روی محور میانی و موازی با طول کanal (در راستای محور X)، نشان می دهند. با توجه به نتایج ارائه شده مشخص می شود که مدل می تواند انتقال و استهلاک لکه نفتی را با دقت زیاد شبیه سازی کند.

#### ۵- نتیجه گیری

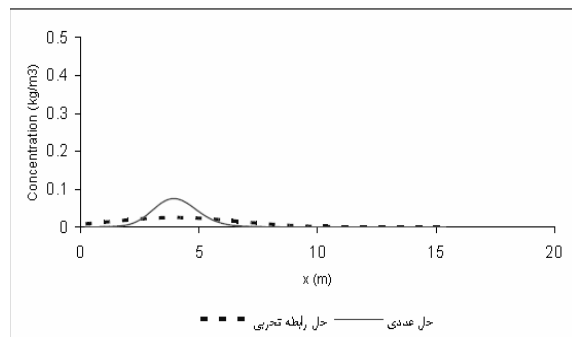
در این مقاله مدلی عددی به منظور پیش بینی انتقال و پراکندگی ضخامت لکه نفتی بر اساس روش گسسته سازی احجام محدود توسعه داده شده است. معادلات انتقال و پخش ضخامت لکه نفتی و مقدار متوسط غلظت نفت در ستون آب همراه و همزمان با معادلات میانگین گیری شده در عمق جریان حل می -



شکل ۱۰ - نمودار تغییرات غلظت در مکان (۵ و x) در  $T=2.5$  s  
[مبدأ مختصات بر روی نقطه رها شده لکه نفتی قرار دارد]



شکل ۱۳ - نمودار تغییرات غلظت در مکان (۵ و x) در  $T=70$  s



شکل ۱۲ - نمودار تغییرات غلظت در مکان (۵ و x) در  $T=40$  s

#### کلید واژگان

- 1- Spreading Function
- 2- ADI: Alternating Direction Implicit
- 3- Finite Volume

Amir kabir university of Technology, Civil College, In Persian

13-Borthwick, A.G.L., Joynes, S.A., (1992), "Laboratory Study of Oil Slick Subjected to Nearshore Circulation", Journal of Environmental Engineering, Vol. 118, No.6.

#### ۶- مراجع

1-ASCE Task Committee on Modeling of Oil Spills of the Water Resources Engineering Division, (1996), "State-of-the-art review of modeling transport and fate of oil spills", ASCE, Journal of Hydraulic Engineering, 122, 11, 594-609.

2-Fay ,J.A,1969. The spread of oil slick on a calm sea. In: Hoult,D.P . (Ed),Oil on the Sea. Plenum Press, New York,NY,pp. 53-63  
3-Lehr, W.J., Cekrige, H.M, Fraga, R.J., Belen, M.S., 1984. Empirical studies of the spreading of oil spills. Oil and Petrochemical Pollution 2,7-11

4-Delvigne, G.A.L., Hulsen, L.J.M., 1994. Simplified laboratory measurements of oil dispersion coefficient – application in computations of natural oil dispersion. In: Proceedings of the 17th Arctic and Marine Oil Spill Program, Environment Canada, pp.  
5-Al-Rabeh, A.H., Cekirge, H.M., Gunay, N. (1999), "A stochastic simulation model of oil spill fate and transport", Appl. Math. Modeling, Vol. 13. June.

6-Fingas, M.Fieldhouse, B. (2003). "Studies of the formation process of water-in-oil emulsions. "Marine Pollution Bulletin, 47, 369-396.

7-Paval Tkalich, 2004. "A CFD solution of oil spill problems." Enviromental Modelling & Software. Sience Direct

8- M. Mohamadi, 2007, Modeling Flow and Turbulence and study Geometric influence of Port on Mixing of Flow due to Tide Effect with Finite Volume Method, Msc Thesis in Marine Structure, K.N Toosi University, Civil College, In Persian

9-Mackay, D., Buist, I., Mascarenhas, R., Paterson, S., 1980. Oil Spill Processes and Models, Report EE8. Environment Canada, Ottawa.

10-R., Mackay, D., Prentki, R., 1999. Oil spill modelling toward the close of the 20th century: overview of the state of the art. Spill Science and Technology Bulletin 5 (1), 3–16.

11-Tkalich, P., Huda, K., Gin, k., 2003. A multiphase oil spill model. Journal of Hydraulic Research 41 (2), 1-11.

12-M. Naghibi, 2007, Numerical Modeling of Oil Slick in Marine Water, Msc Thesis,